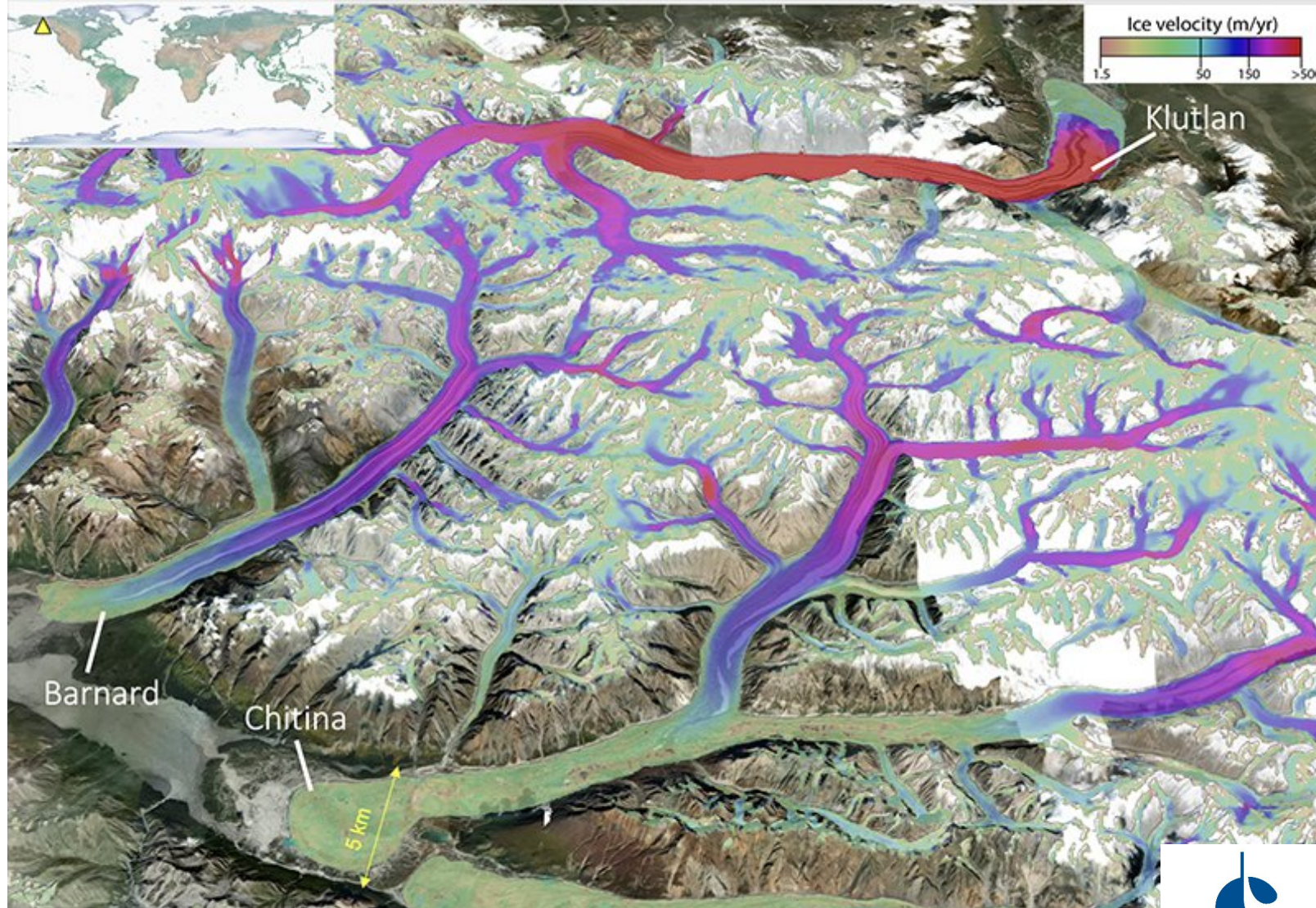


# Apport de la mission Sentinel-2 pour le suivi des glaciers

Journées PNTS 2025

Laurane CHARRIER  
Antoine RABATEL

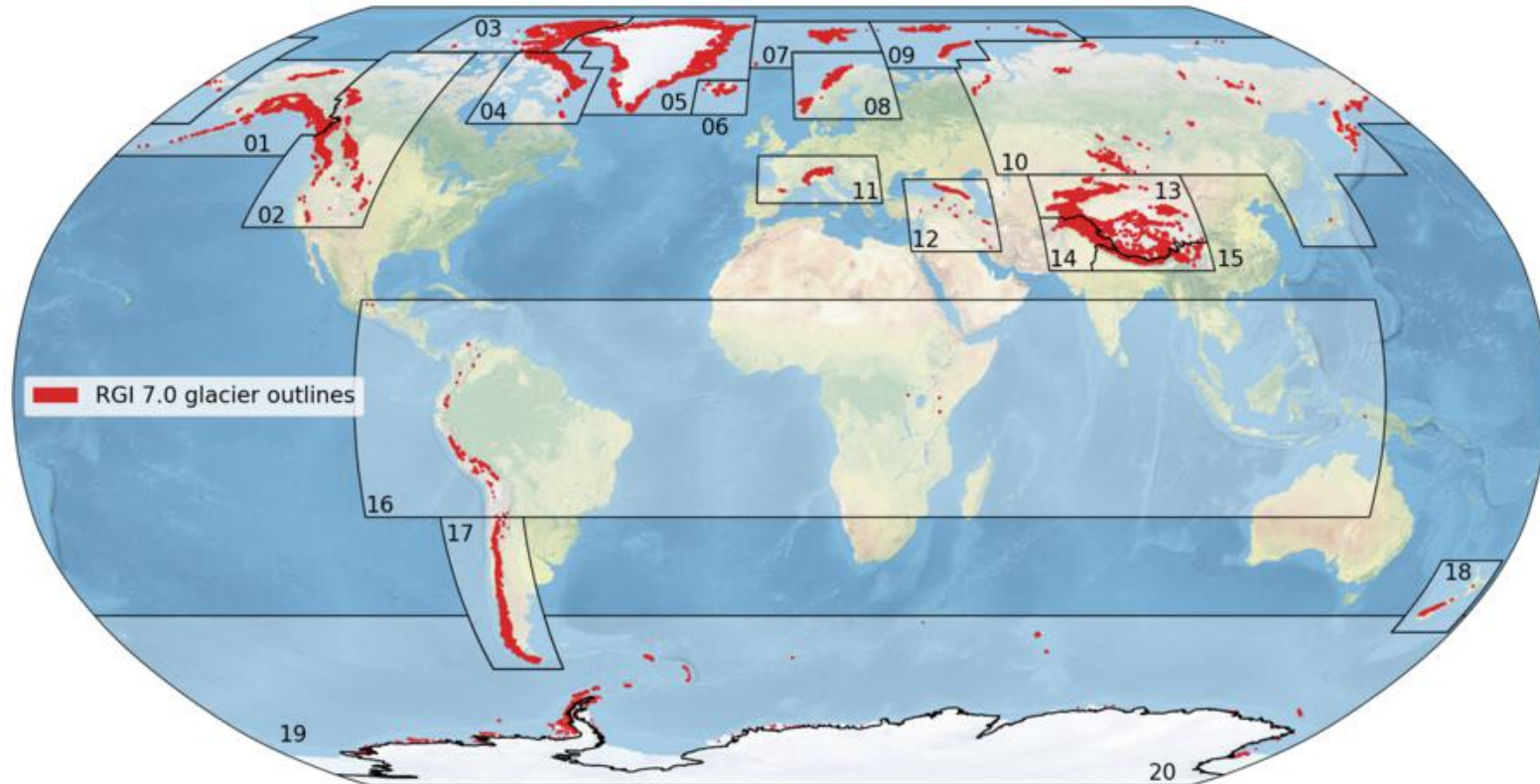


Vitesses d'écoulement des glaciers d'Alaska

© Romain Millan, Jean-Baptiste Barré / CNRS / IGE – données cartographiques : Mapbox / OpenStreetMap / Maxar

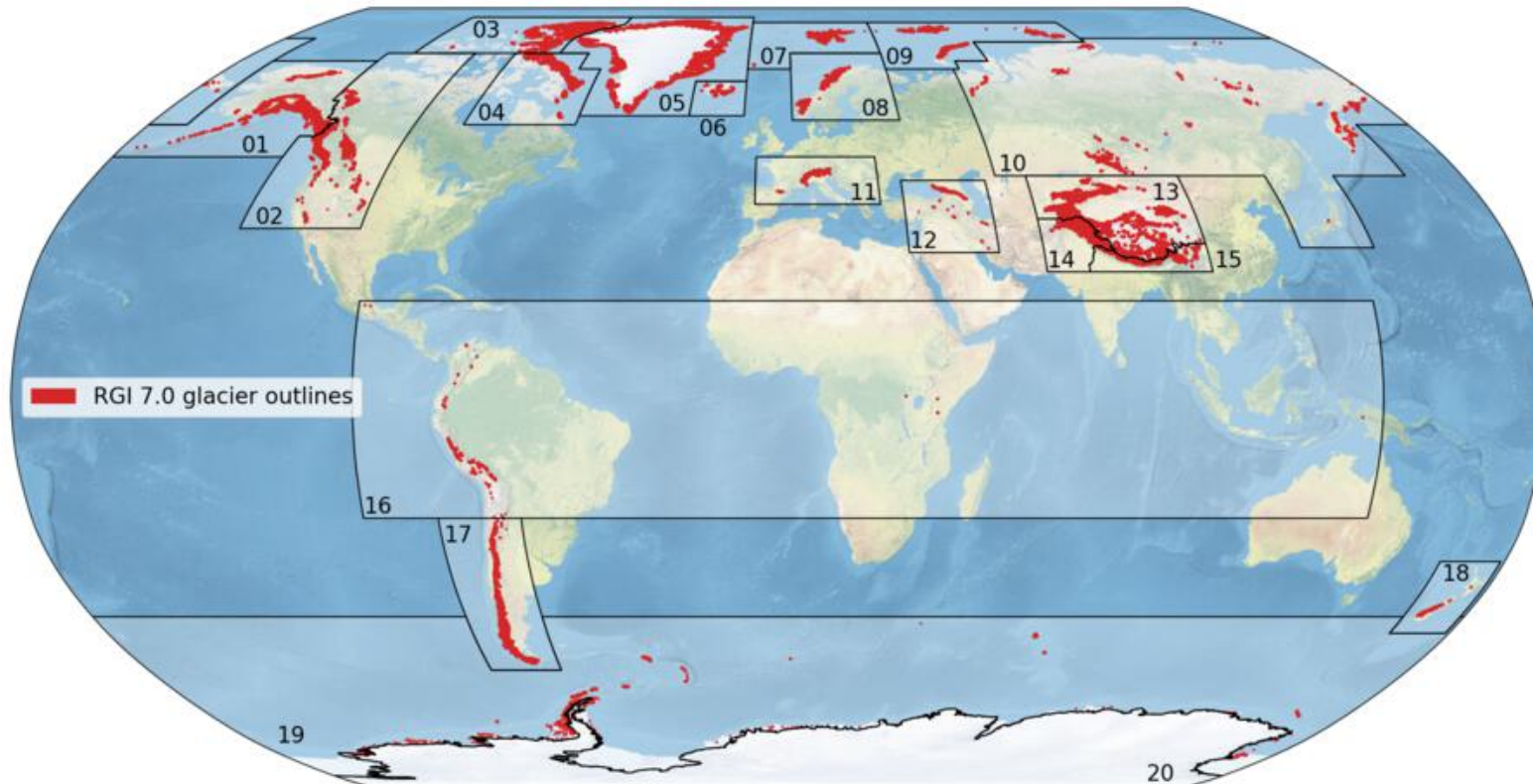
# Glaciers de montagne et calottes polaires

glaciers : masse de glace **pérenne** montrant une évidence d'**écoulement présent ou passé**

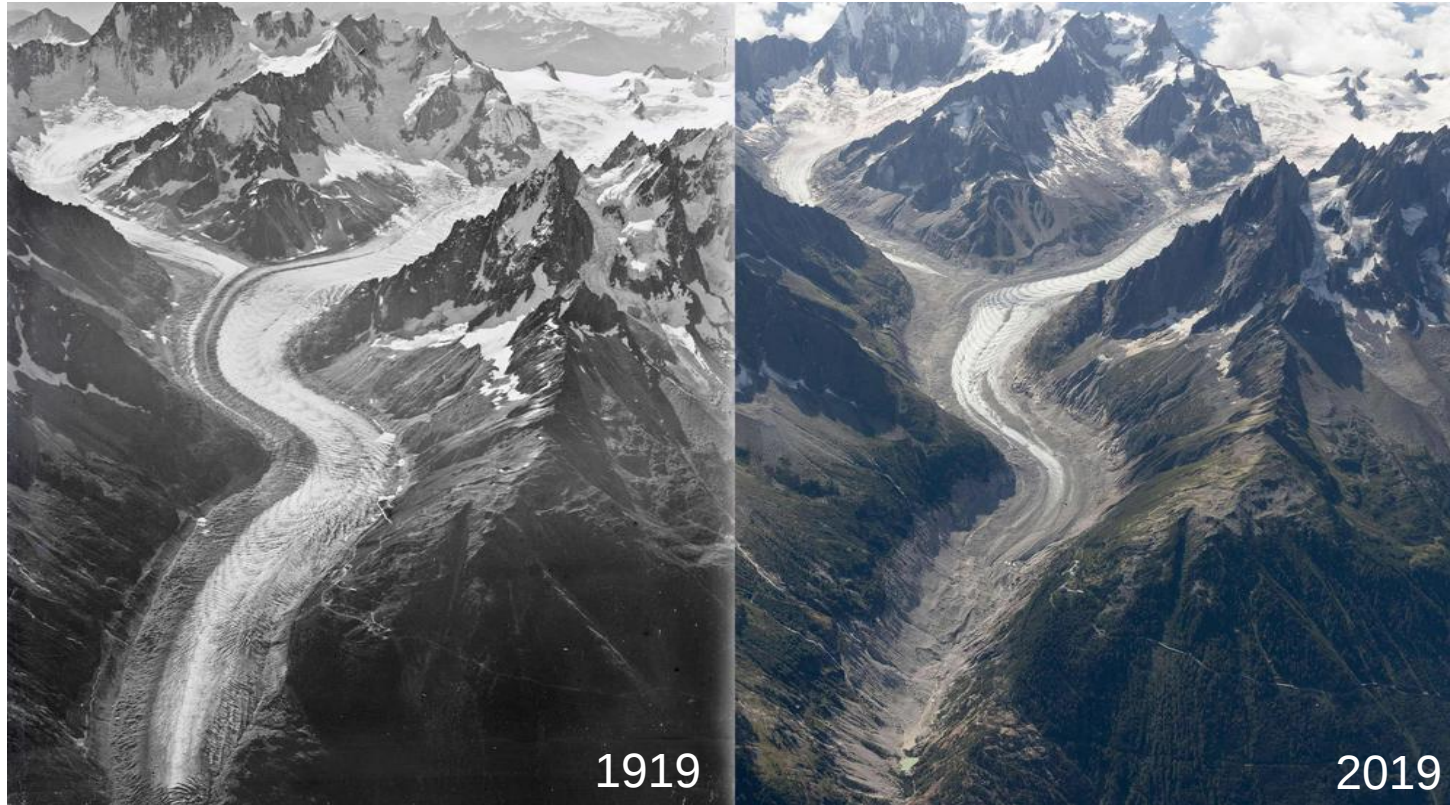


# Glaciers de montagne et calottes polaires

**Groenland & Antarctique, ~60-70 m SLR**  
**Glaciers de montagne (~200,000) = ~700,000 km<sup>2</sup> , ~0,3 m SLR**



# Glaciers : sentinelle du climat

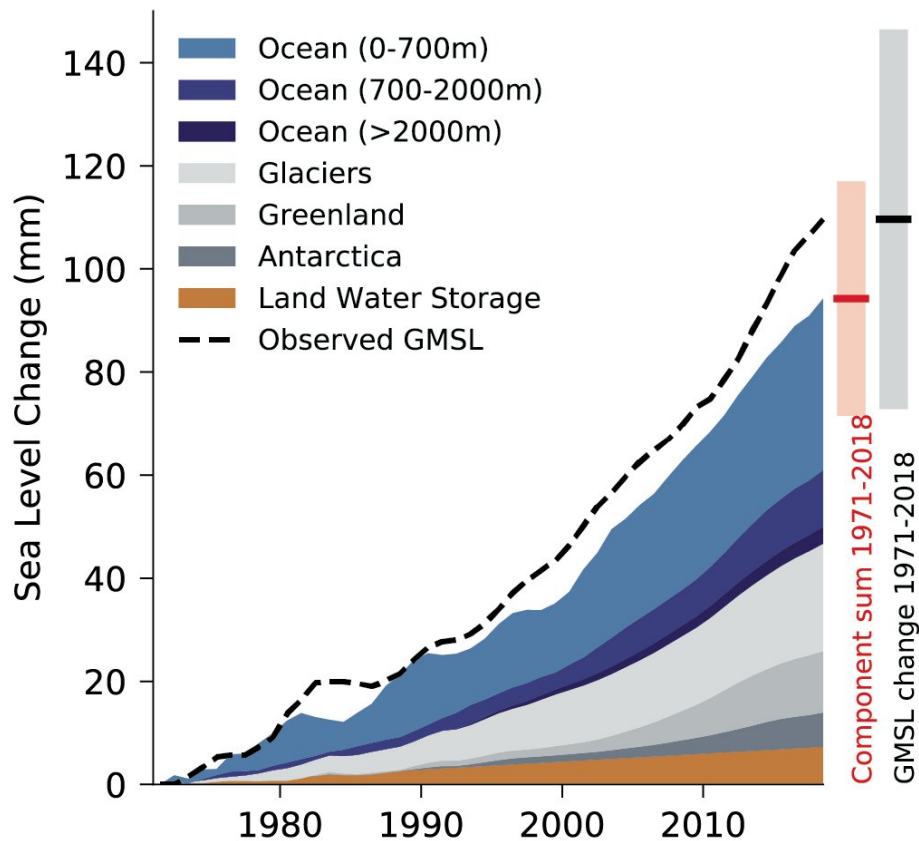


Mer de glace, Massif du Mont-Blanc



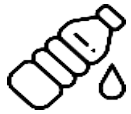
# Montée du niveau des mers

(b) Global Sea-Level Budget

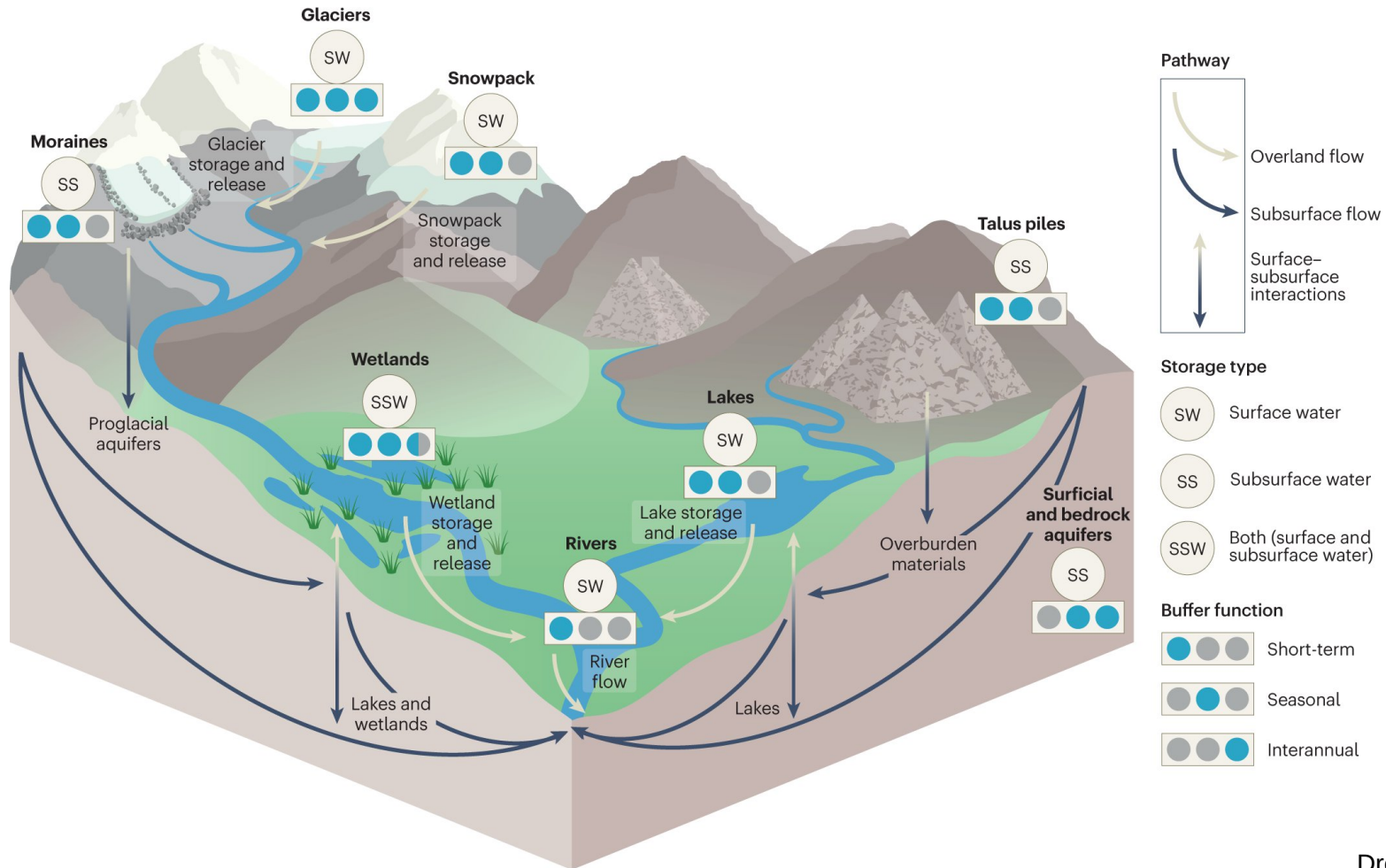


2000-2023: la **perte des glaciers de montagne est 18% plus importante que celle du Groenland**, et plus 2 fois supérieure à celle de l'Antartique

The GlaMBIE Team, 2025

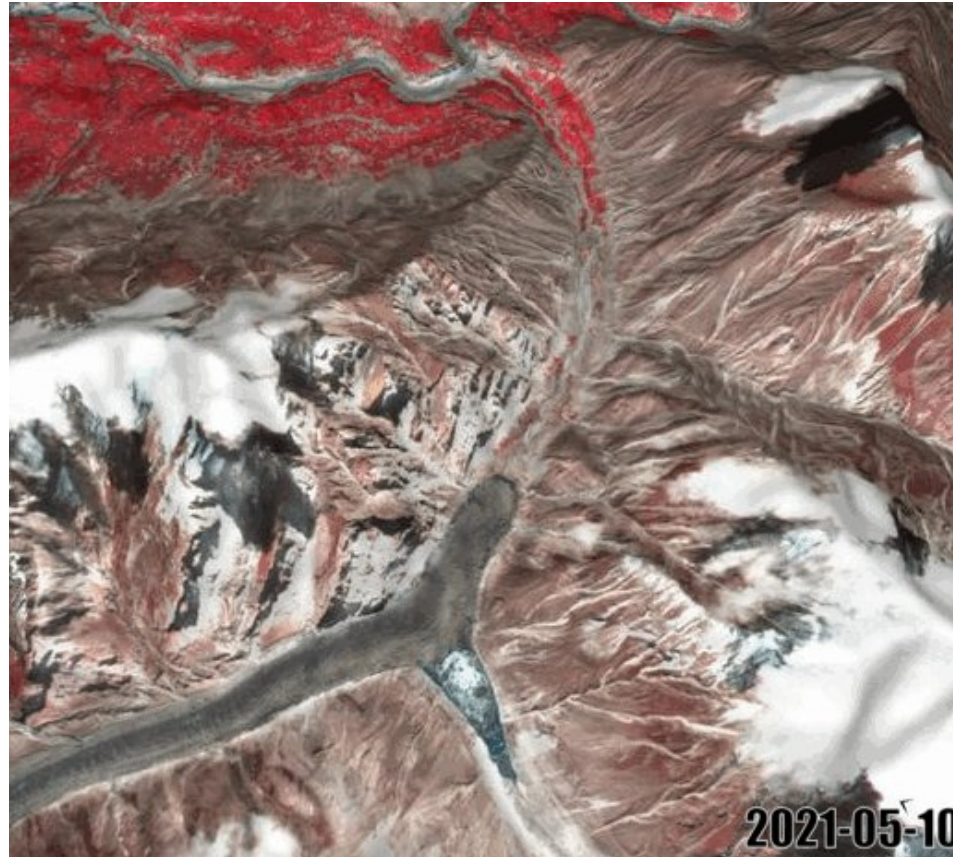


# Ressources en eau





# Risques naturels



Shispar glacier, Asia



## Risques naturels

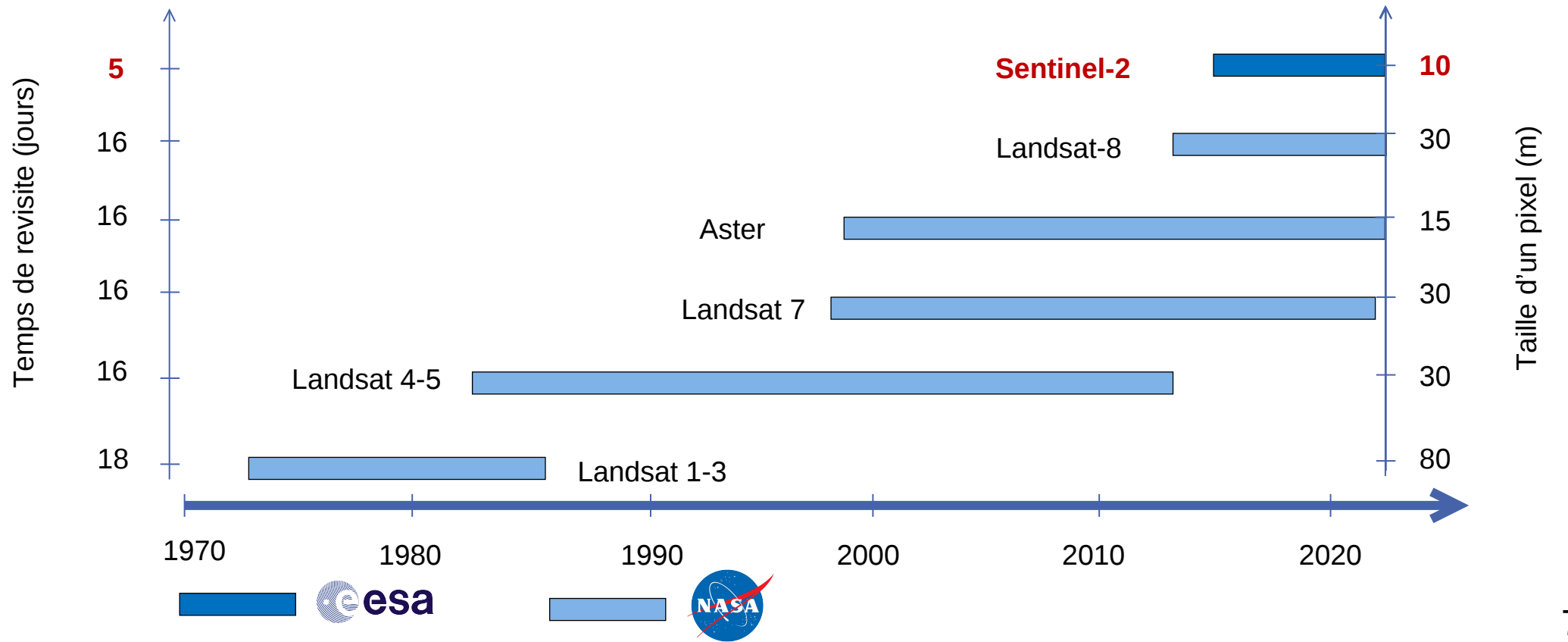
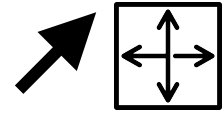
**Glacier Lake  
Outburst Flood  
(GLOF)**



Shispar glacier, Asia



# Satellites optiques public utilisés pour l'étude des glaciers



# Sentinel-2 images

Baltoro Glacier  
High Mountain Asia



# Sentinel-2 images

Baltoro Glacier  
High Mountain Asia



## Sentinel-2 images

Baltoro Glacier  
High Mountain Asia



# Sentinel-2 images

Baltoro Glacier  
High Mountain Asia



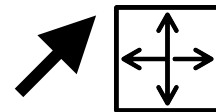
# Données Sentinel-2 pour suivre l'évolution des glaciers

- Exemple 1: Inventaires
- Exemple 2 : Altitude de la ligne d'équilibre
- Exemple 3 : Vitesse d'écoulement de surface

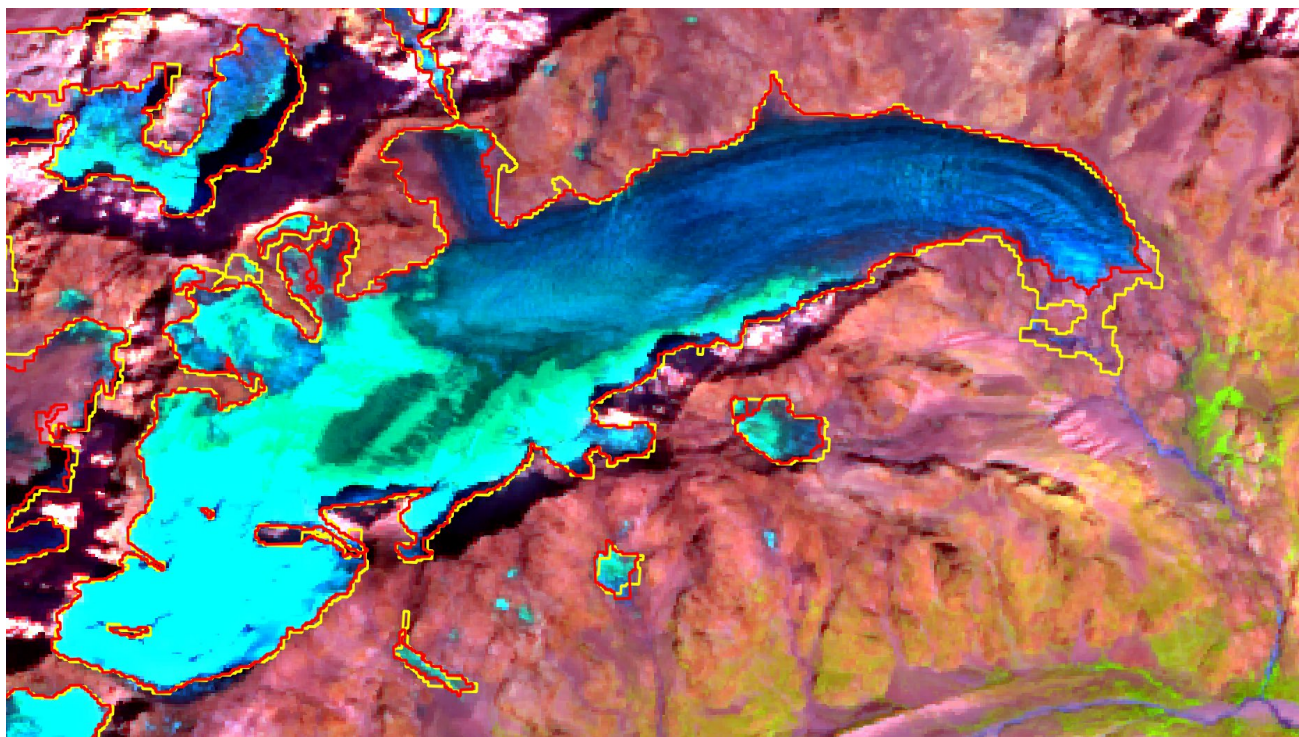
# Etat des lieux des inventaires

- **1967-1971**, M. Gardent (PhD 2014, Univ. Savoie, EDyTEM). **Cartes IGN au 1/25000.**
- **1985-86**, A. Rabatel (UGA-OSUG, IGE). Images satellitaires **LANDSAT-5.**
- **2003**, A. Rabatel (UGA-OSUG, IGE), J.-P. Dedieu (CNRS, IGE), A. Charron (étudiant, Univ. Sherbrooke, Canada). Images satellitaires **LANDSAT-5 et -7.**
- **2006-2009**, M. Gardent (PhD 2014, Univ. Savoie, EDyTEM). **Photographies aériennes IGN.**
- **2015**, A. Rabatel (UGA-OSUG, IGE) et M. Ramusovic (étudiante, UGA). Images satellitaires **Sentinel-2.**
- **2022**, A. Rabatel (UGA-OSUG, IGE) et X. Klee (étudiant, UGA). Images satellitaires **Sentinel-2.**

# Exemple du Glacier Blanc (massif des Ecrins)

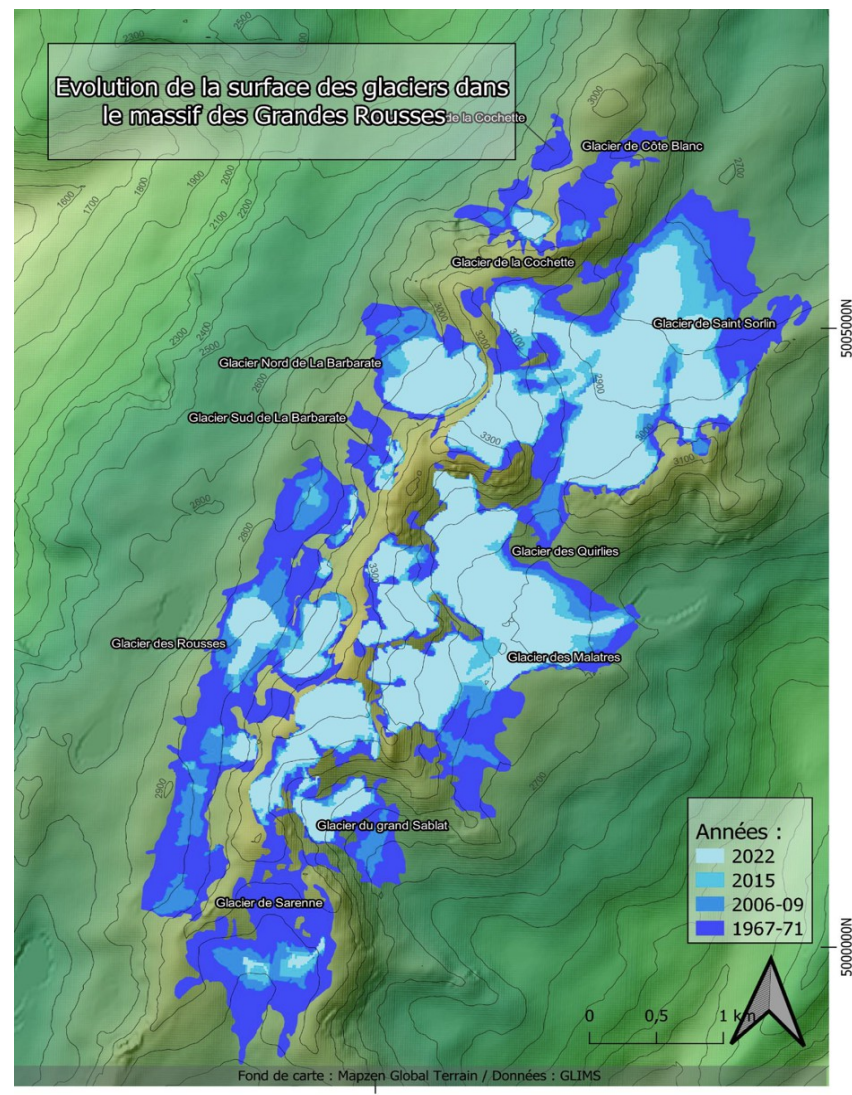
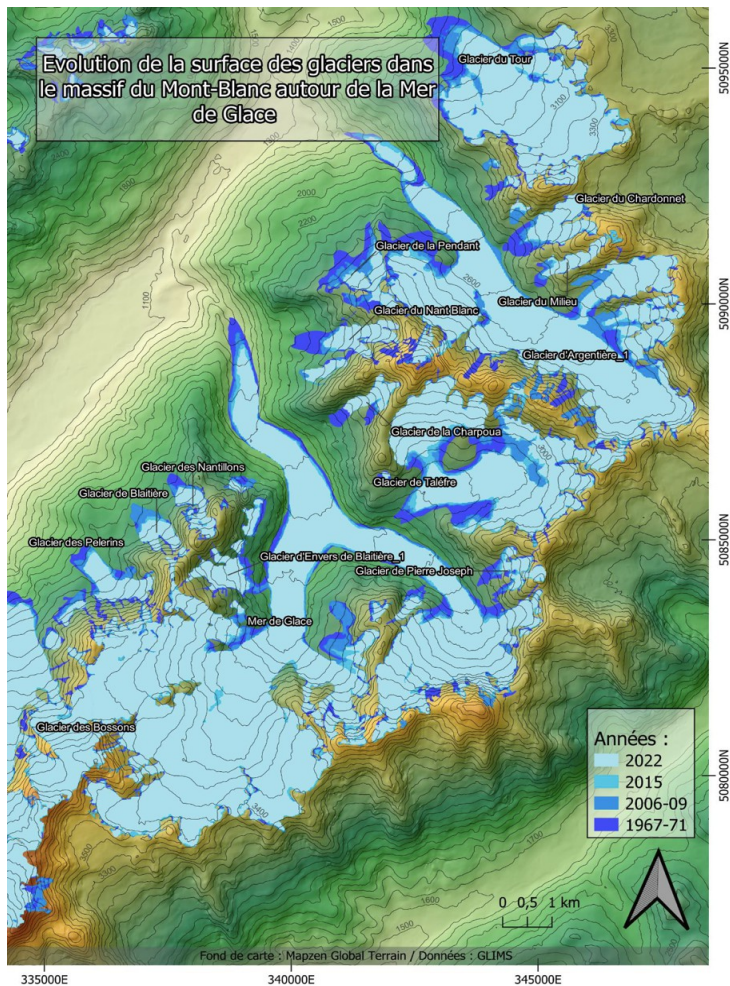


Combinaison de bandes spectrale de l'infra-rouge et du visible.

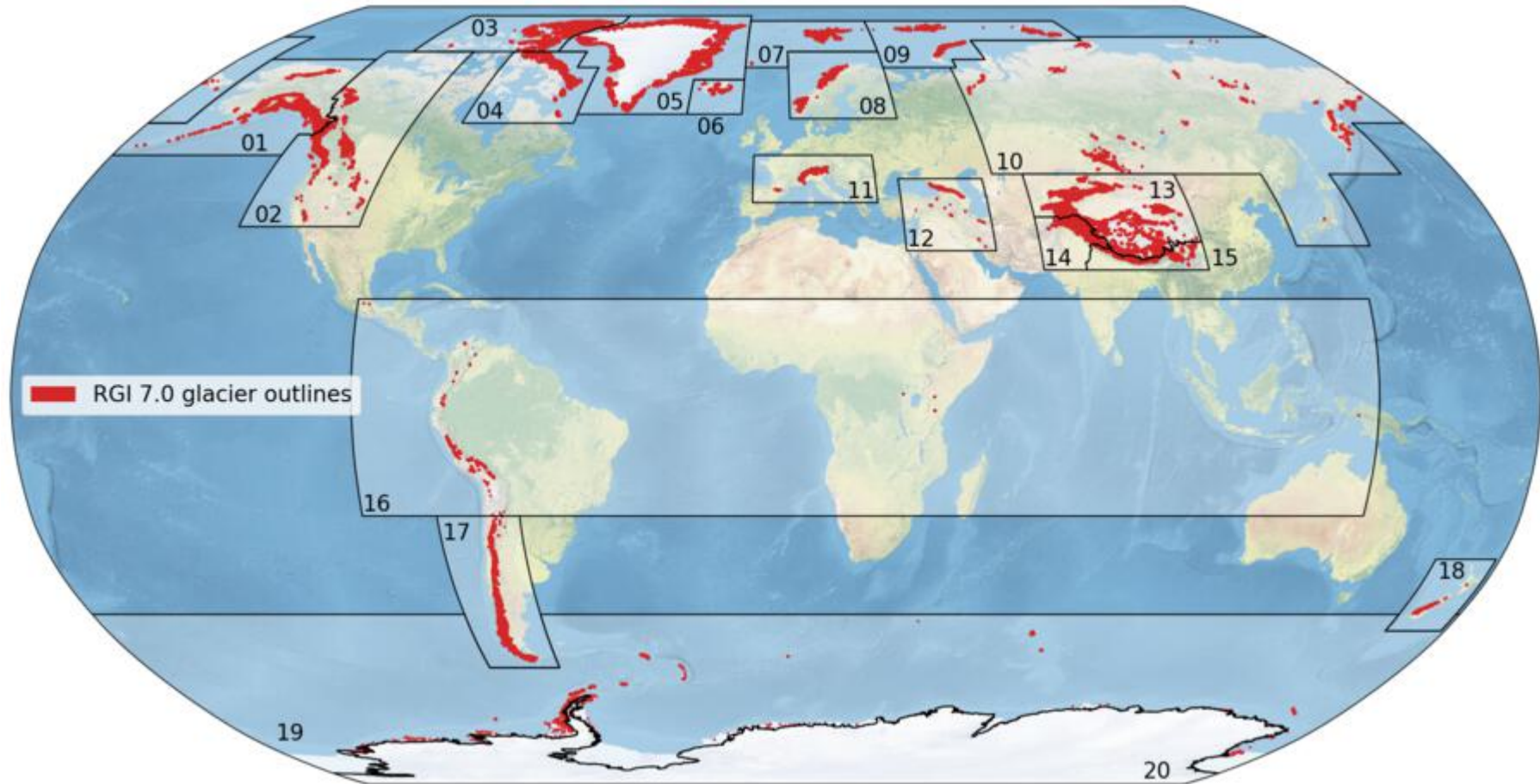


— contour de 2015  
— contour de 2022

# Evolution entre 1970 et 2022

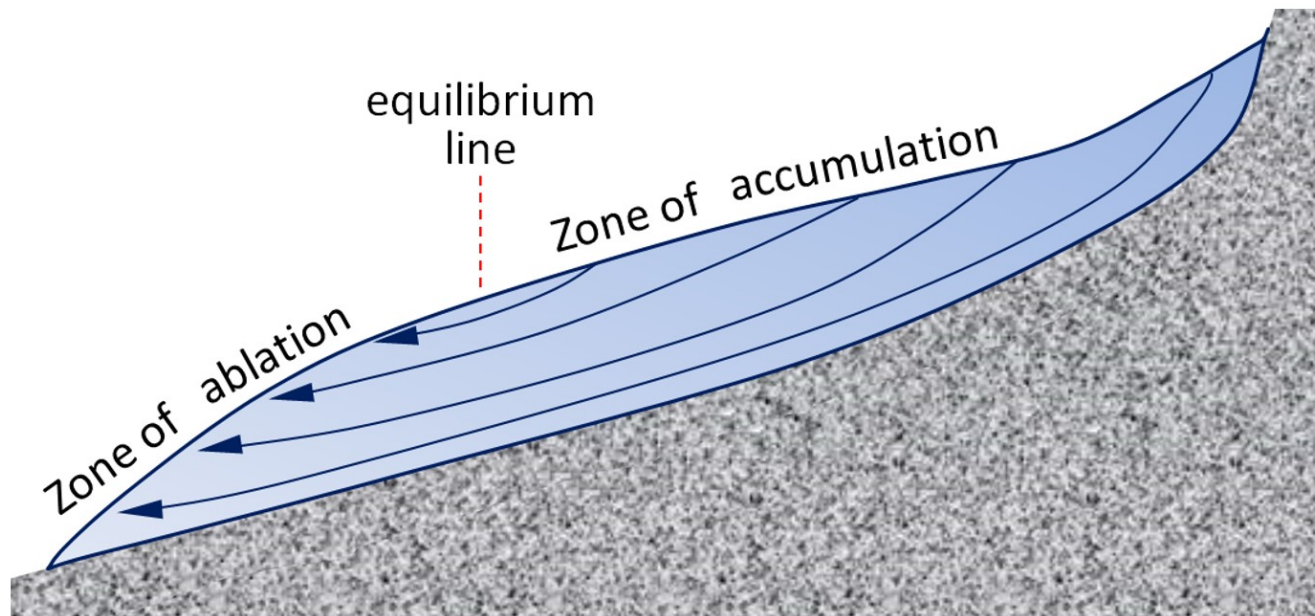


# Randopl Glacier Inventory (échelle mondiale)



# Ligne d'équilibre

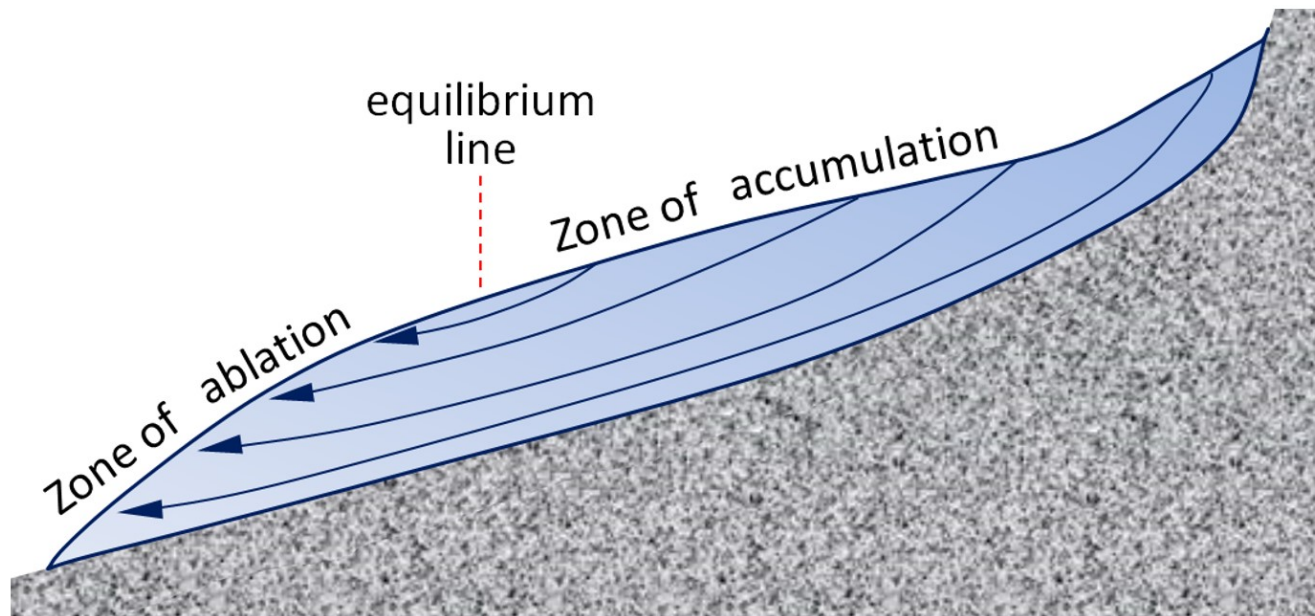
Transition entre une zone où le glacier gagne de la masse (**zone d'accumulation**) et une zone où il en perd (**zone d'ablation**)



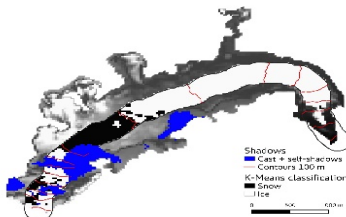
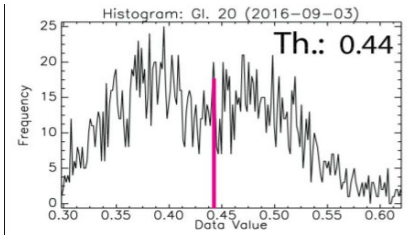
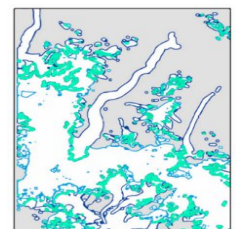
# Ligne d'équilibre

Transition entre une zone où le glacier gagne de la masse (**zone d'accumulation**) et une zone où il en perd (**zone d'ablation**)

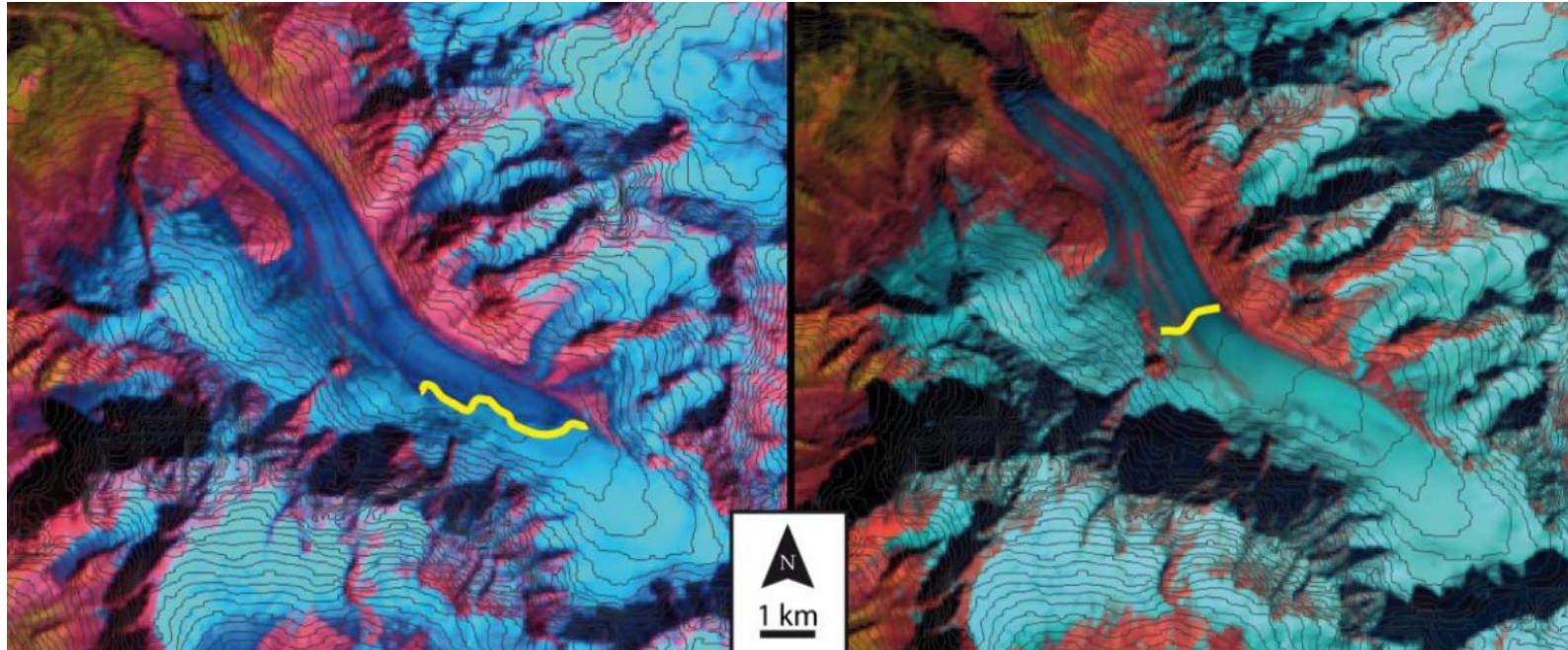
Mesurée à la fin de la saison hydrologique



# Méthodes de délimitation automatique

	Davaze et al., 2020	Rastner et al., 2019	Racoviteanu et al., 2019
Illustration			
Méthode	Gradient	Histogramme	Partitionnement des différentes surfaces
Capteurs	Landsat 4-5-7-8 Sentinel 2A-2B ASTER	Landsat 4-5-7-8	Landsat 7-8
Traitements utilisés	Nuages, topographiques, ratio de bandes, classifications, post-traitement statistique et interpolation	Réflectance, nuages, topographiques, classification, post-traitement statistique	Nuages, ombres, ratio de bande, classification supervisée, post-traitement manuel
Limites	Filtrage manuel des images d'entrée. Nuages, topographie complexe	Pas d'application régionale, nuages, topographie complexe, peu de capteurs	Seuils et post-traitement manuel. Peu de capteurs, nuages, topographie complexe

# Exemple du glacier d'Argentière

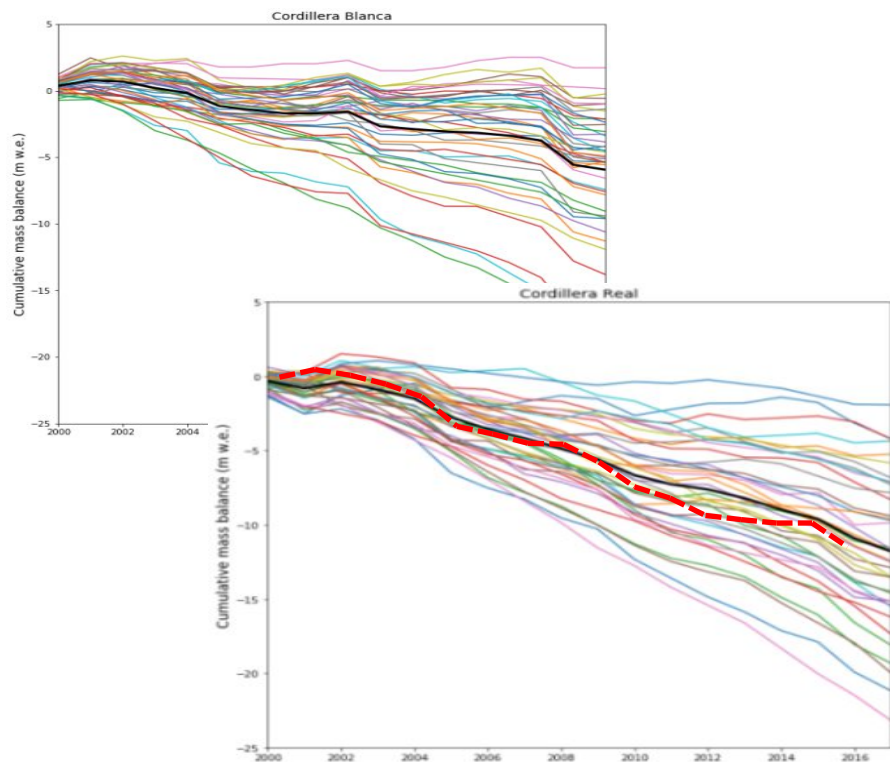


**Glacier d'Argentière (French Alps)**

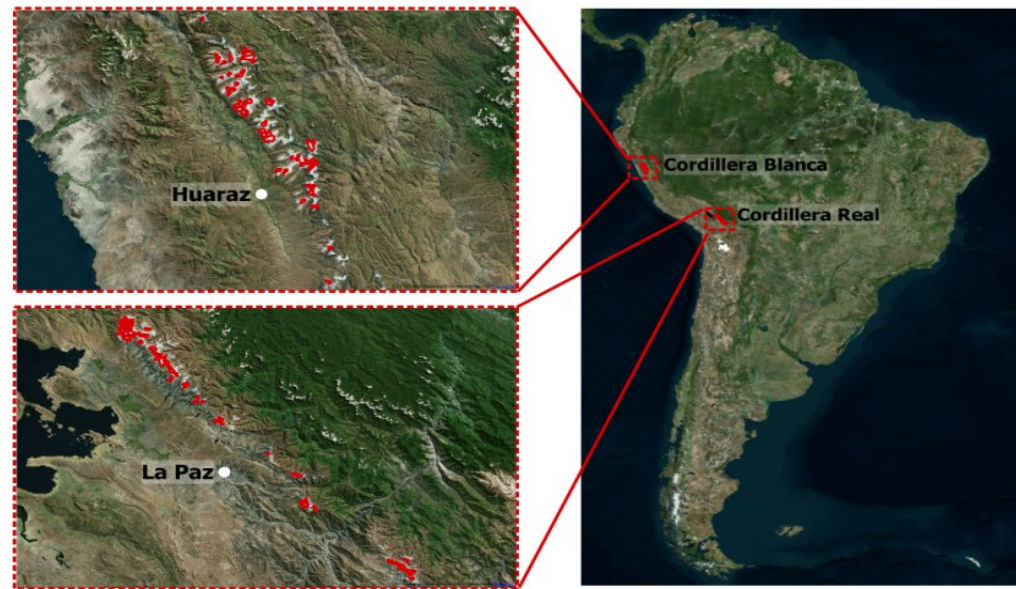
Rabatel et al., 2016

# Reconstruction les bilans de masse de surface

Reconstruction of annual mass balance time series [2000-2017]  
82 glaciers (Peruvian & Bolivian Andes)

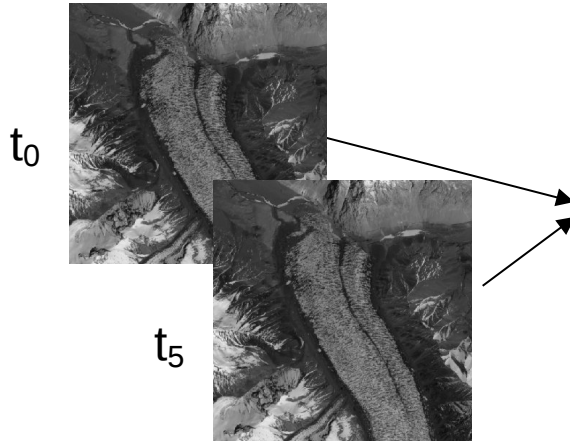


Only 4 glaciers have *in situ* measurements over this period



Internship of Léna Gurriaran (ENS – Ulm, 2018-19)

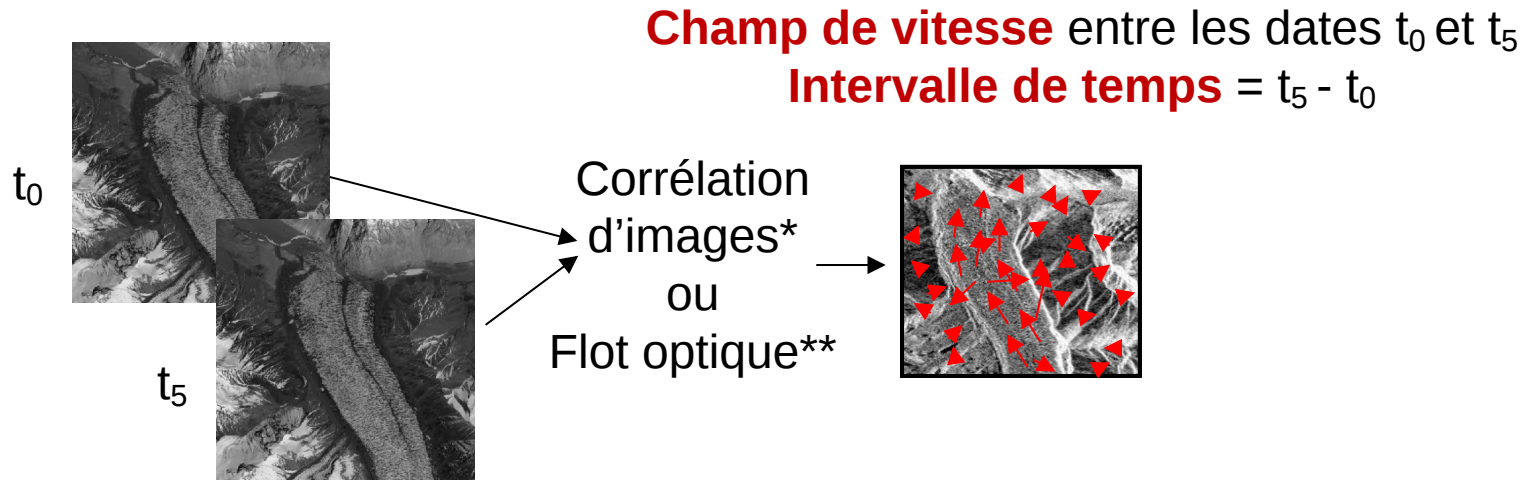
## Estimation



*\*(Dehecq et al., 2015; Gardner et al., 2018; Millan et al., 2019; Friedl et al., 2021; Provost et al., 2022...)*

*\*\*\*(Brigot et al., 2016; Charrier et al., 2020)*

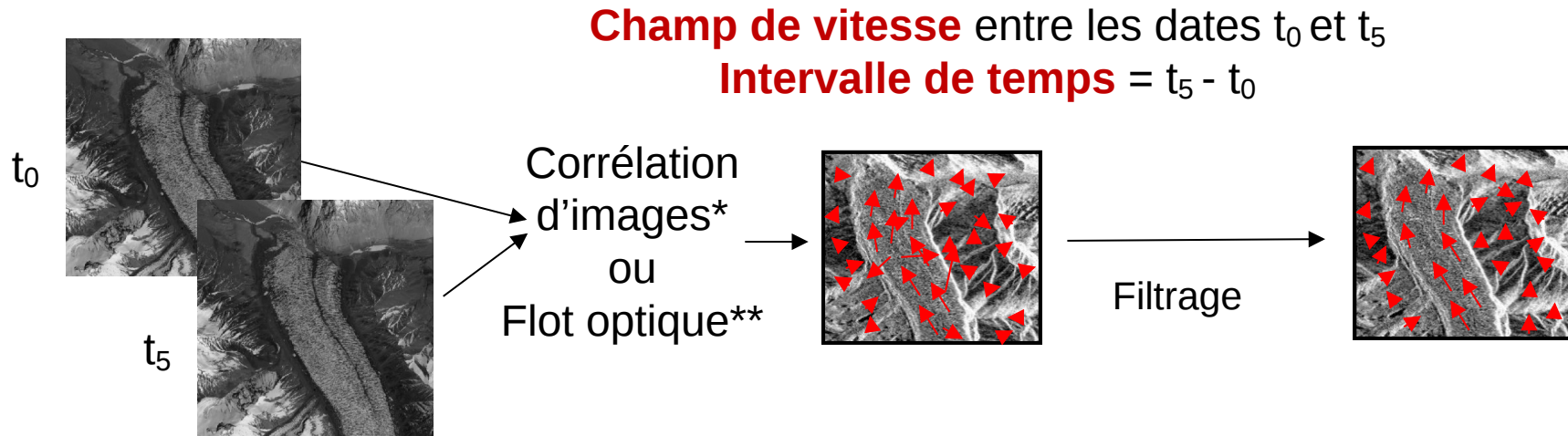
## Estimation



*\*(Dehecq et al., 2015; Gardner et al., 2018; Millan et al., 2019; Friedl et al., 2021; Provost et al., 2022...)*

*\*\*\*(Brigot et al., 2016; Charrier et al., 2020)*

## Estimation



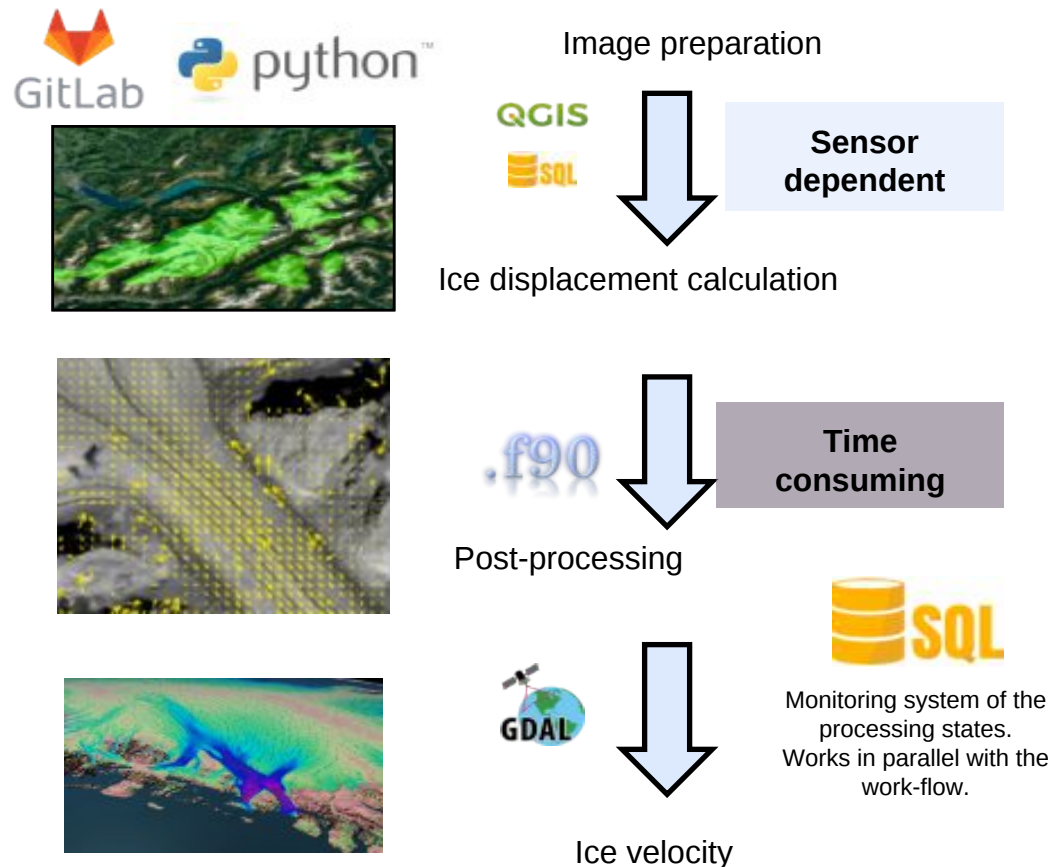
*\*(Dehecq et al., 2015; Gardner et al., 2018; Millan et al., 2019; Friedl et al., 2021; Provost et al., 2022...)*

*\*\*\*(Brigot et al., 2016; Charrier et al., 2020)*

# Estimation de vitesse d'écoulement de surface

Chaîne de traitement développée à l'IGE-Grenoble.

**Données** : photographies aériennes, Pléiades, Sentinel-1/2, Landsat-1-8, Venüs



# Produits disponibles à l'échelle globale

**ITS\_LIVE**  
a NASA MEaSUREs project

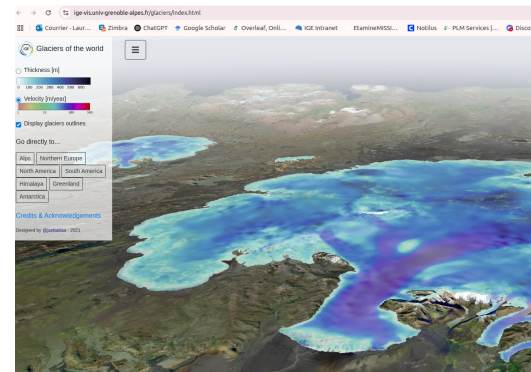


- Champ de vitesse annuel à 120 m

## Limitations:

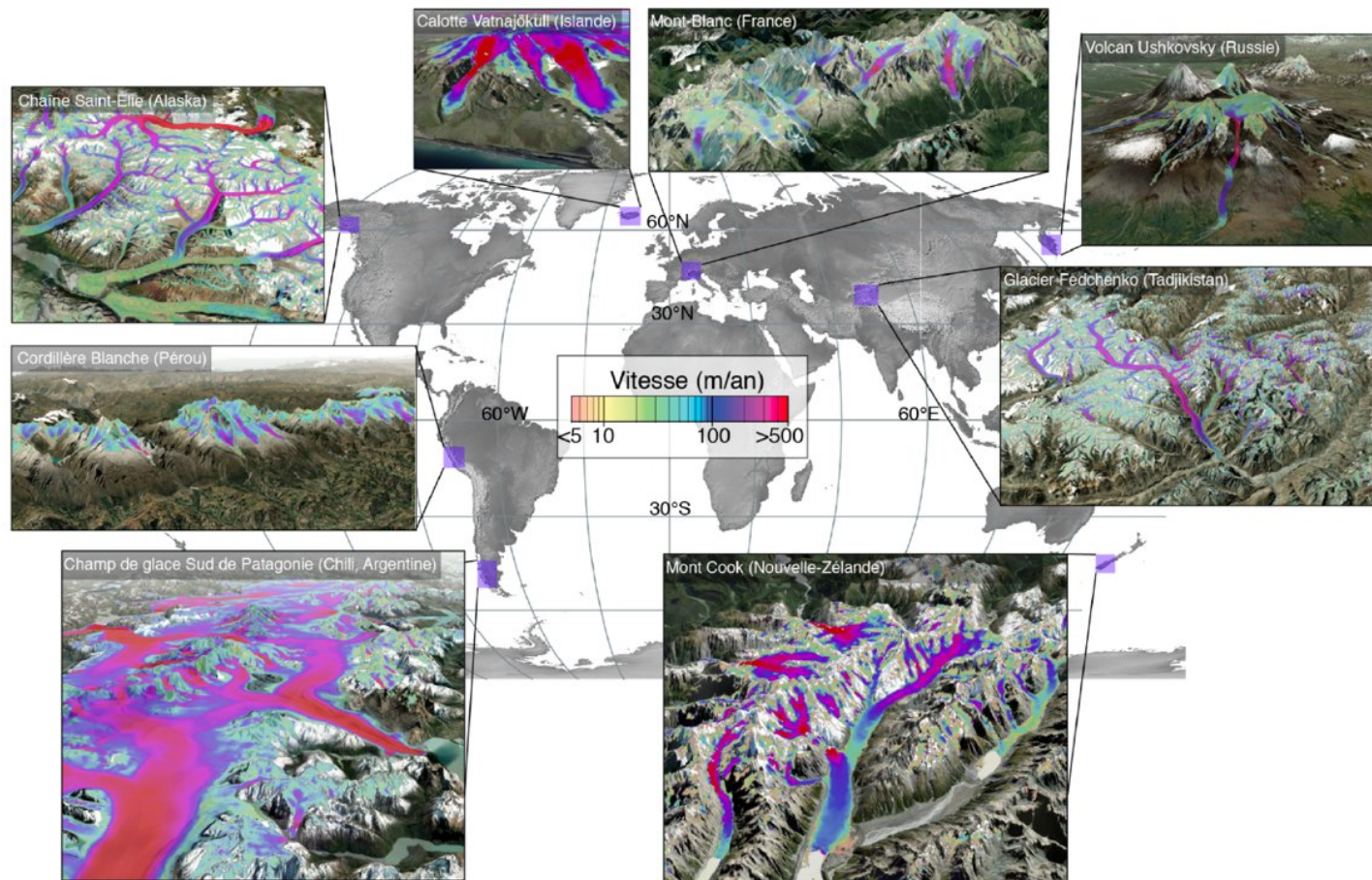
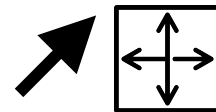
- Résolution spatiale (240 m interpolé à 120 m)
- Couverture spatiale incomplète
- Politique Trump

- Champs de vitesse annuel à 50 m
- 2017-2018 : échelle globale (Millan et al., 2022)
- 2016-2023 ou 2024
  - Alpes (Rabatel et al., 2023)
  - Andes tropicales (Ducasse et al., 2025)

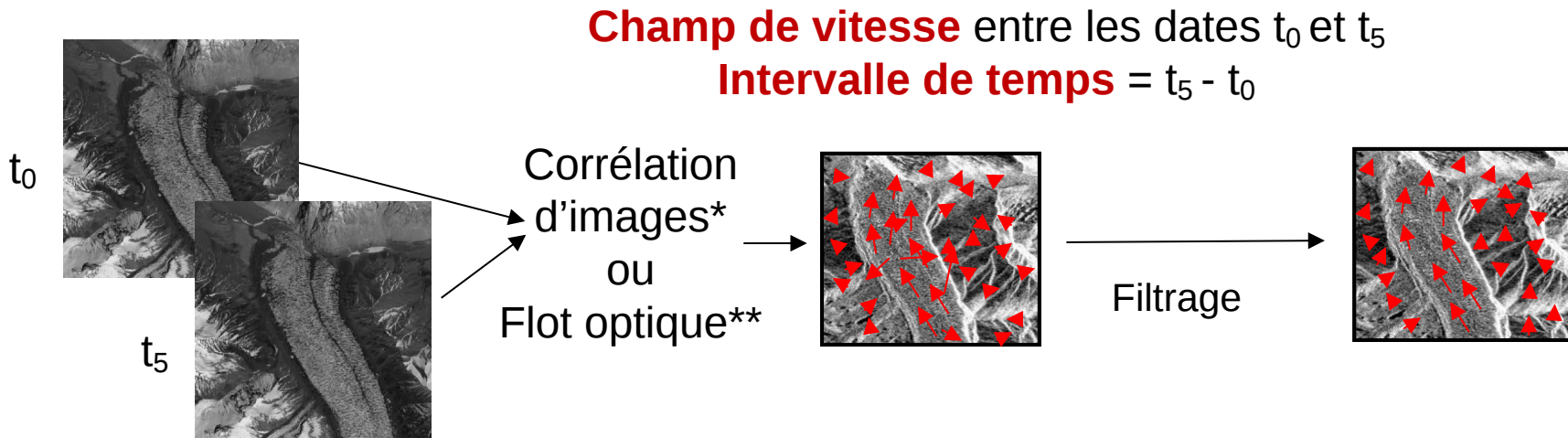


THEIA  
CES glacier

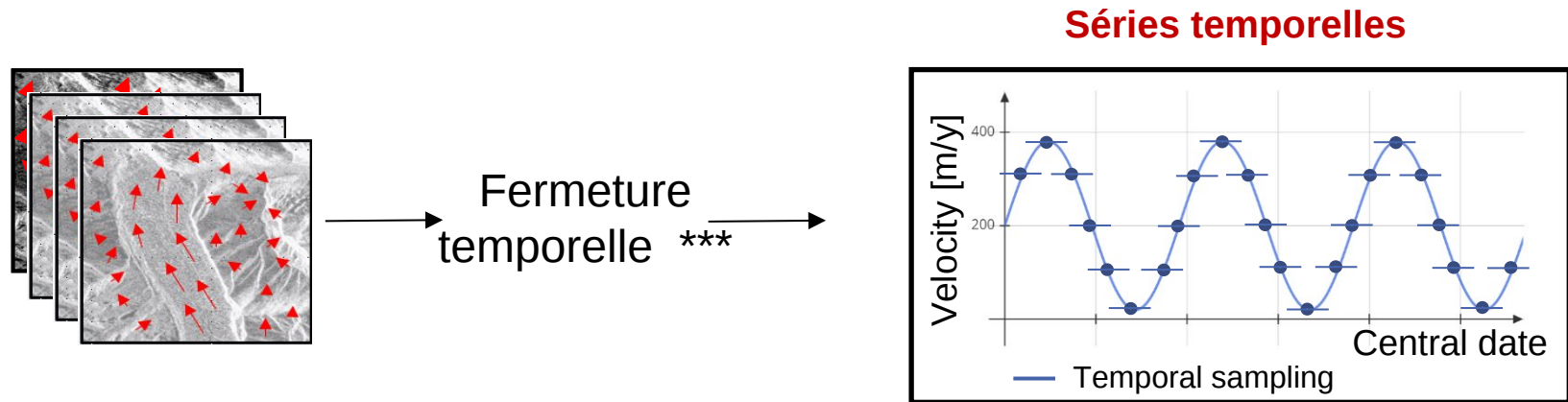
# Champ de vitesse annuel à échelle mondiale



## Estimation



## Fusion

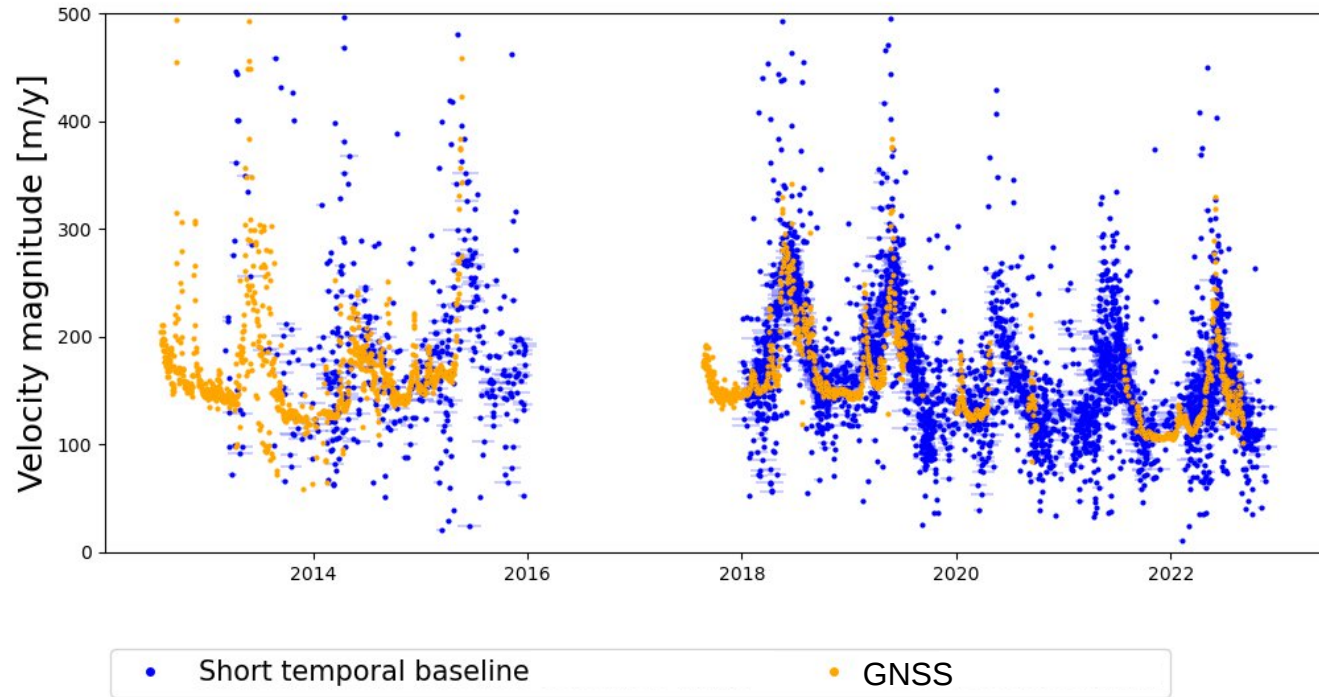


\*(Dehecq et al., 2015; Gardner et al., 2018; Millan et al., 2019; Friedl et al., 2021; Provost et al., 2022...)

\*\* (Brigot et al., 2016; Charrier et al., 2020)

\*\*\* (Bontemps et al., 2018; Altena et al., 2019; Charrier et al., 2022, 2024)

# Fusion de données

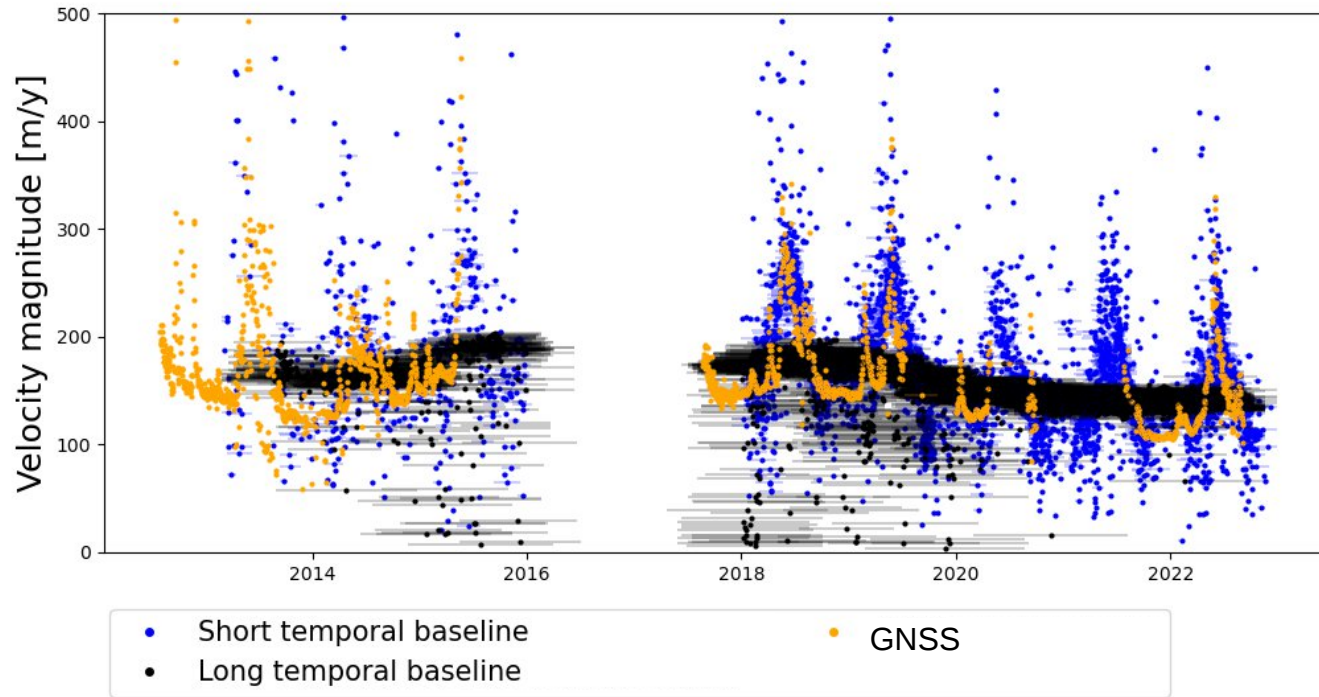


## Intervalle de temps courts (<100 j)

- proche de la vitesse instantanée
- erreurs aléatoires importantes

Kaskawulsh glacier, Yukon, Canada

# Fusion de données



## Intervalle de temps courts (<100 j)

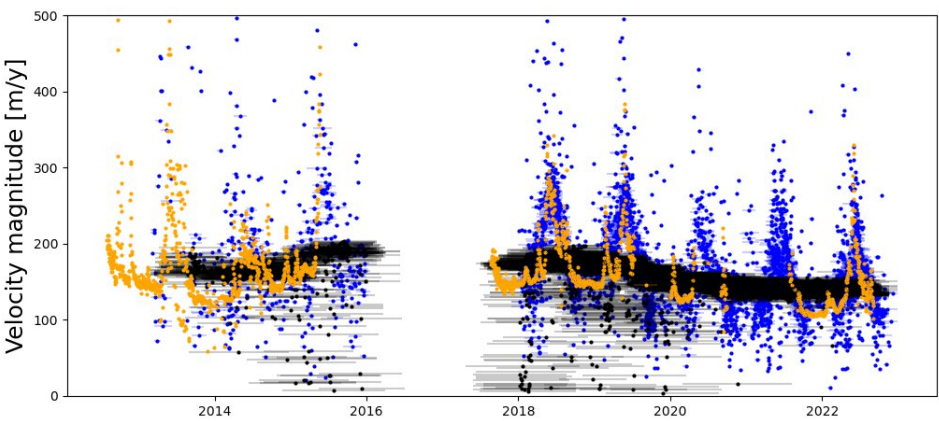
- proche de la vitesse instantanée
- erreurs aléatoires importantes

## Intervalle de temps longs (300-400 j)

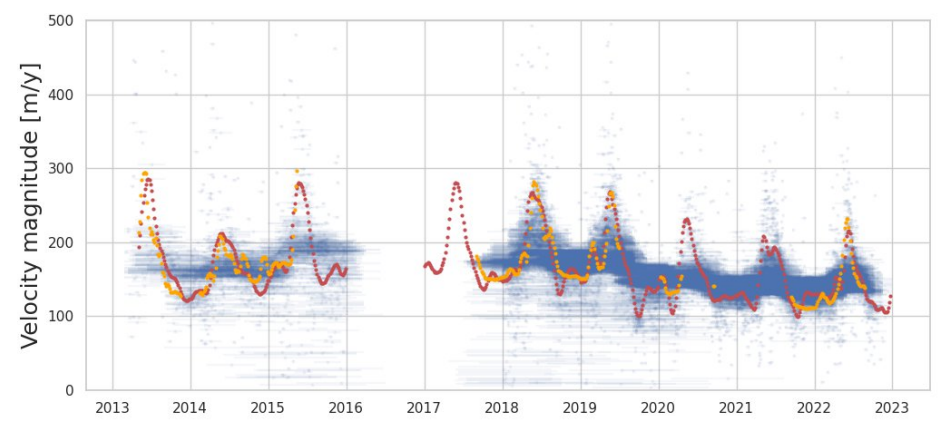
- moyenne annuelle du signal
- erreurs systematiques

Kaskawulsh glacier, Yukon, Canada

# Fusion de données, extraction des séries temporelles mensuelles



● Short temporal baseline      ● GNSS  
● Long temporal baseline

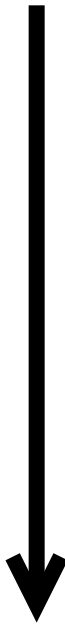


● Velocity observations      ● GNSS  
● TICOI Velocities time-series

**ITS\_LIVE**  
a NASA MEaSUREs project



Any in-house velocity products

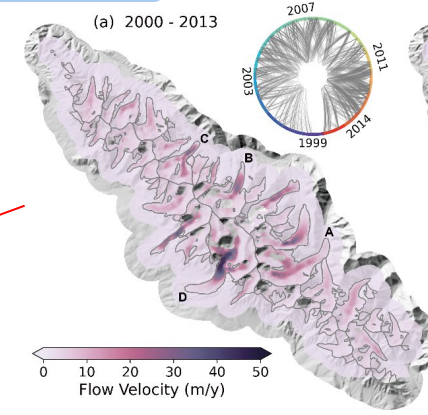
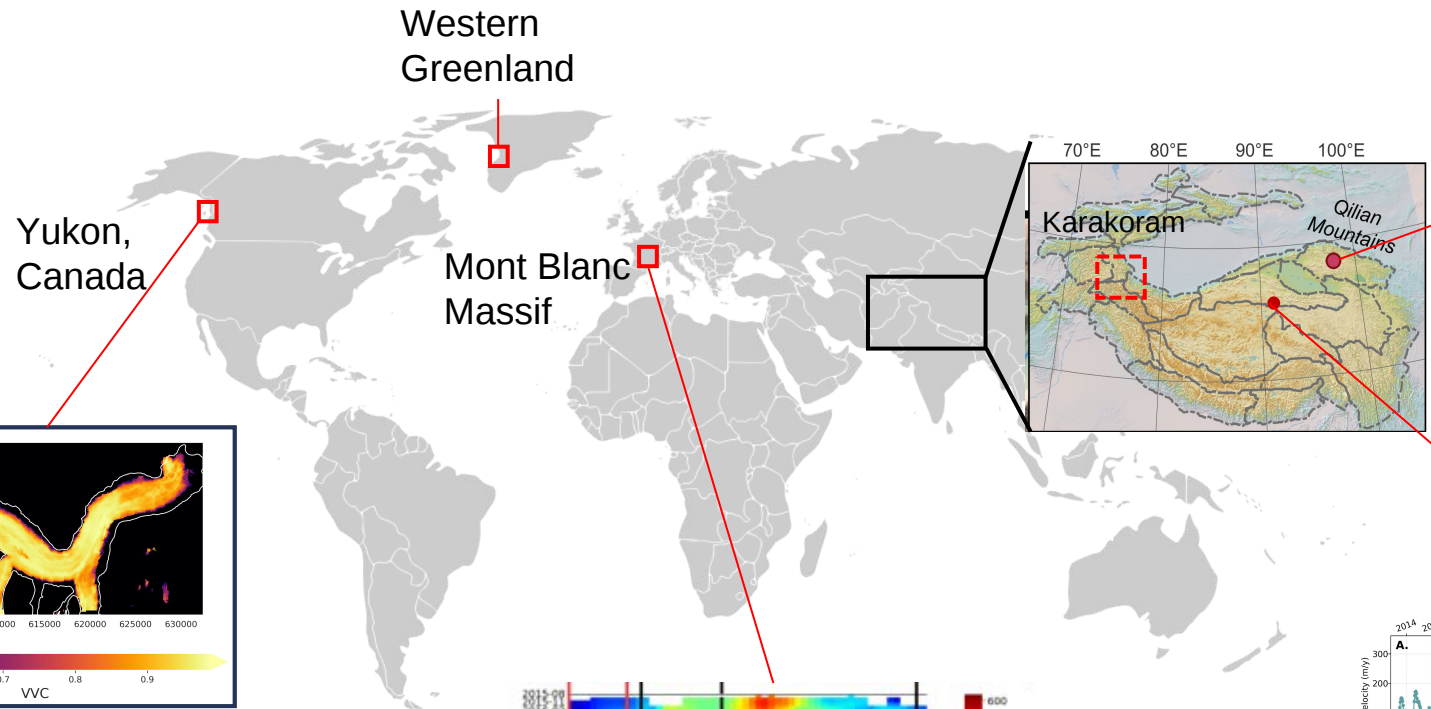


**Temporal Inversion using a Combination of Observations and Interpolation (TICOI)**

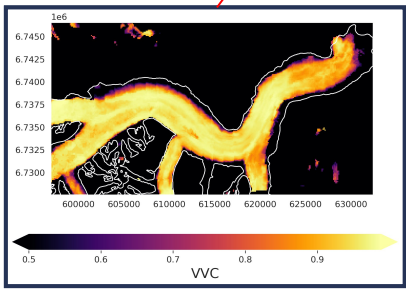


Charrier et al. 2022 ; Charrier et al. 2025

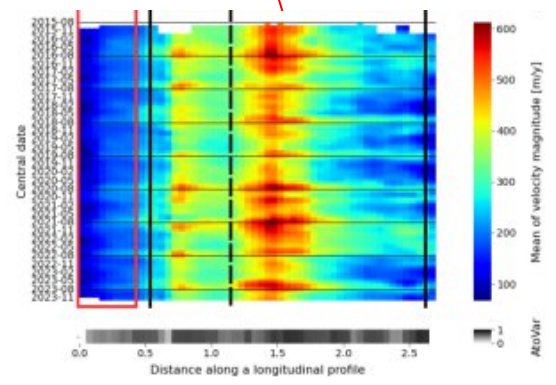




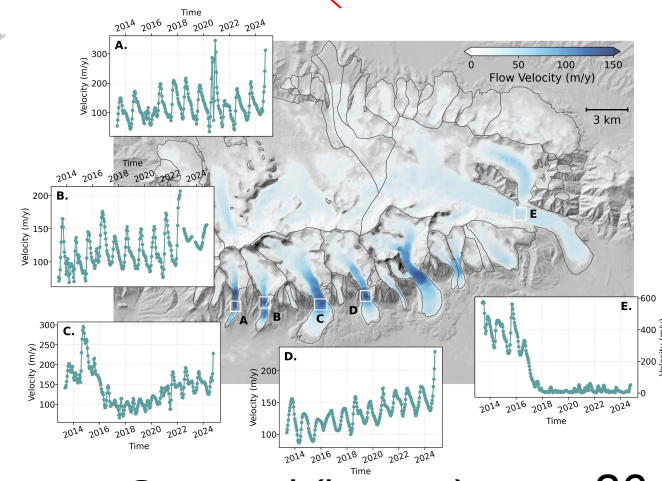
Guo et al (in review)



Charrier et al. 2025



Charrier et al (in prep)

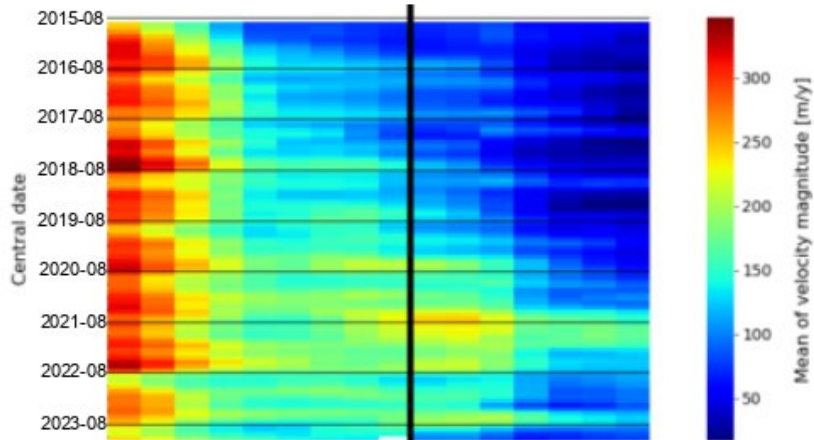


Guo et al (in prep)

Instabilités glaciaires, e. g.  
glaciers surge



Mini-surge du glacier des Bossons

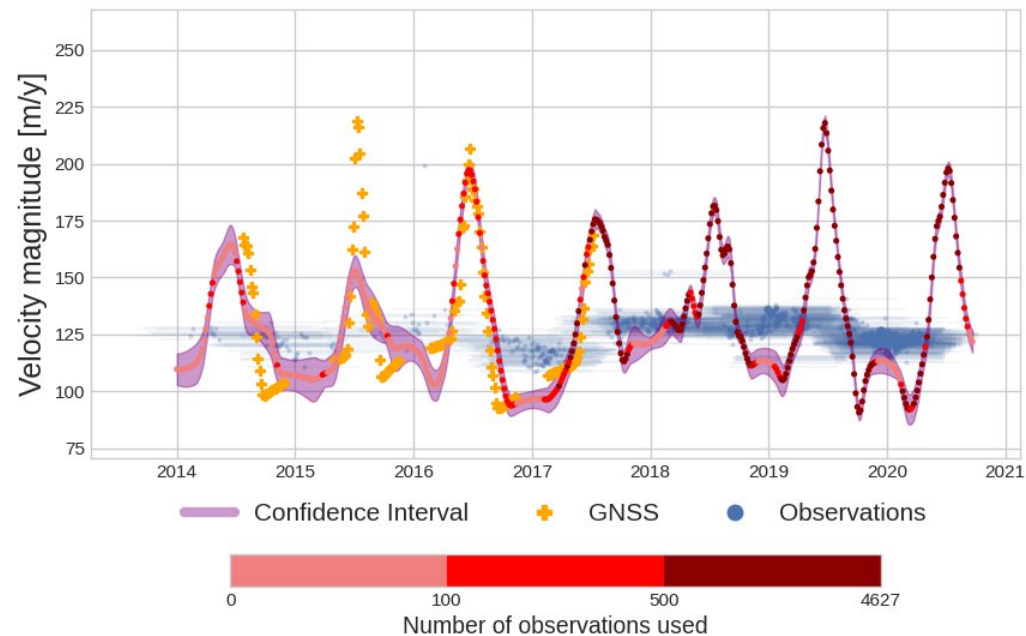


Distance along a longitudinal profile

PFE Nathan Lioret

-> validation de théorie de surge  
thèse de Luc Béraud, IGE

Hydrologie sous-glaciaire et conditions basales

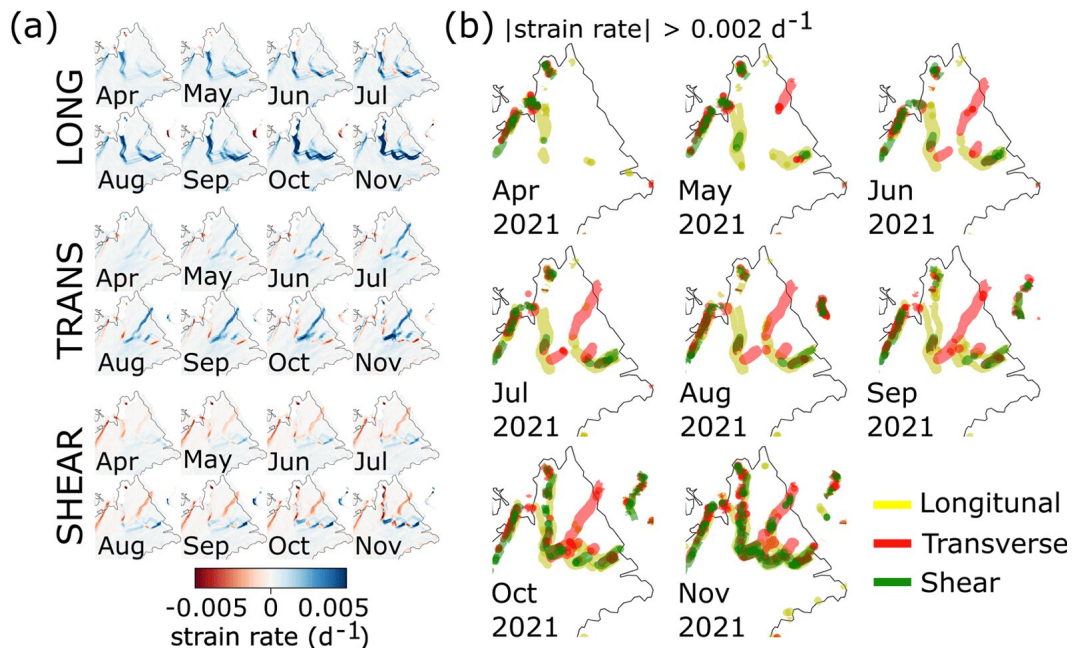


Charrier et al. 2025

-> lien entre date du pic de saisonnalité et géométrie  
des glaciers

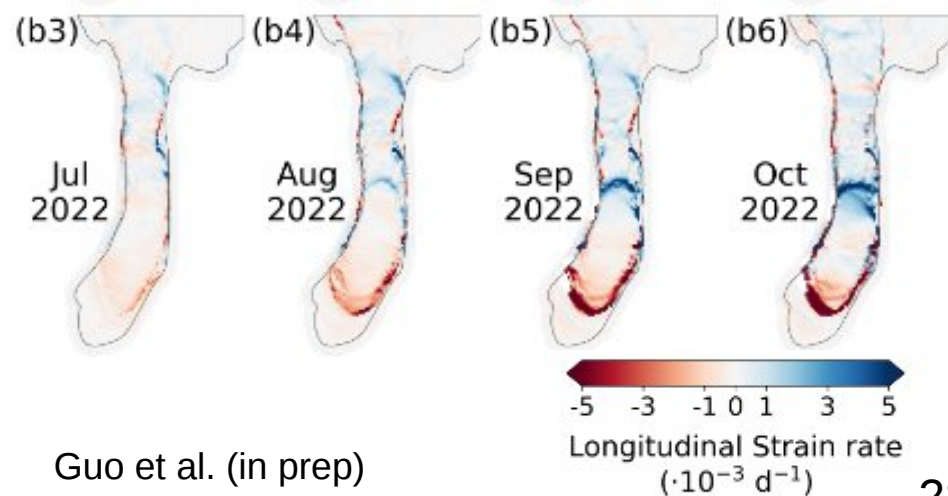
thèse de Marie Zeiller, IGE

## Fracturations des plateformes de glace

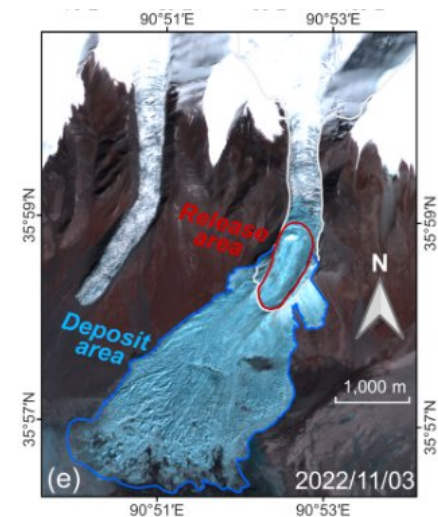


Provost et al., 2024

## Détachement glaciaire



Guo et al. (in prep)



# Conclusion

- S2 = Plus value en terme de résolution temporelle, spatiale, et radiométrique.
- Des produits disponible sur le **CES glacier**: <https://www.theia-land.fr/ces-cryosphere/glaciers/>
- Autres applications: cartographie de crevasses (Fernandes-shahateet et al., in prep) ou de dunes (Poizat et al., 2024)

# Conclusion et perspectives

- Production systématique des vitesses via CDOS THEIA, en cours d'implémentation
- Vers une meilleure intégration des séries temporelles de vitesse de surface dans les modèles de dynamique glaciaire
- Il ne manque qu'une chose à Sentinel-2 : **la stéréo** !!      => 4D Earth !





**Thanks!**

